

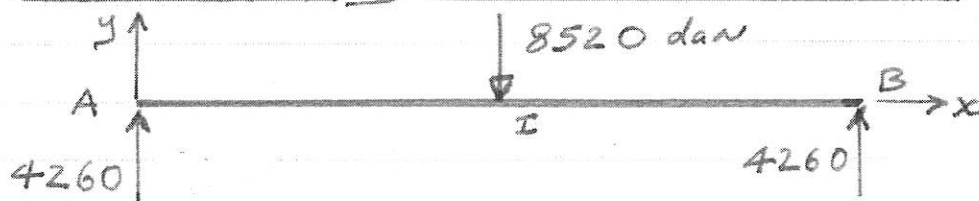
U 41 MECANIQUE

Session 20xx

Partie 1A. Prédimensionnement du treillis:Question 1: Actions aux liaisons:

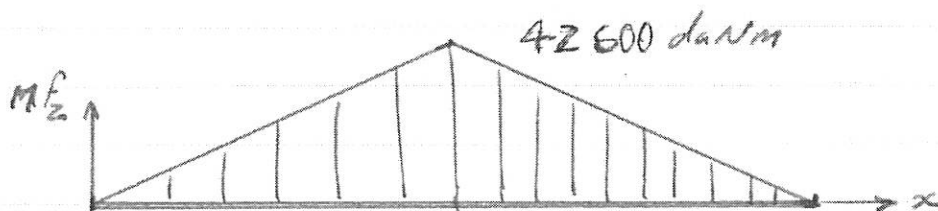
structure symétrique chargement symétrique

$$Y_A = Y_B = \frac{8520}{2} + 3020 = 7280 \text{ daN} \quad X_A = 0$$

Question 2: Diagramme de Moment:

$$M_{F_{\max}} = M_{F_z} \left(\frac{L}{2} \right) = M_{F_z}(10) = 4260 \times 10 = 42600 \text{ daNm}$$

Tracé en fibres comprimées

Question 3: Contrainte de flexion:

$$\sigma_{\max} = \frac{M_{F_{\max}}}{W_{ely}} = \frac{42600}{W_{ely}}$$

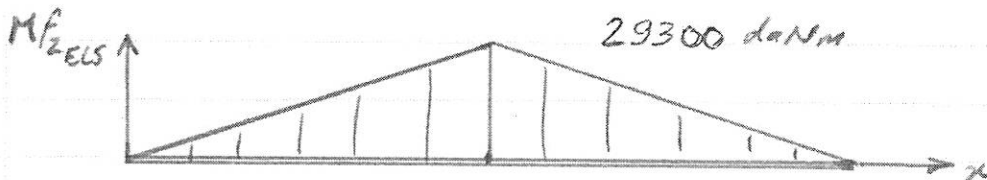
$$\text{On doit vérifier } \sigma_{\max} \leq \sigma_e = 23,5 \text{ daN/mm}^2.$$

$$W_{ely} \geq \frac{42600}{23,5} \approx 1813 \text{ cm}^3$$

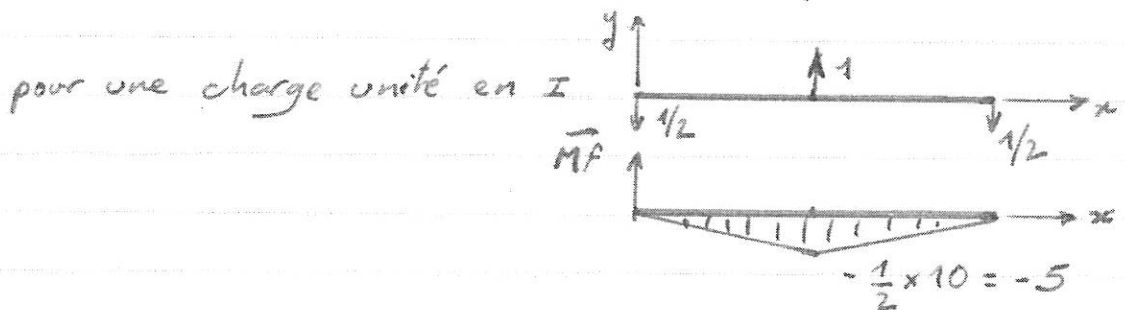
Question 4: Diagramme de Moment à l'ELS:

$$Y_{AELS} = 2100 + \frac{5860}{2} = 5030 \text{ daN}$$

$$M_{\text{max}} = 2930 \times 10 = 29300 \text{ daNm.}$$



Question 5: Flèche en milieu de poutre



Théorème de la charge unitaire (à l'aide des intégrales de Mohr)

$$S_I = \frac{L}{EI} \left\{ \begin{array}{l} \text{Diagramme de Moment à l'ELS} \\ \text{Diagramme de Moment pour une charge unitaire} \end{array} \right\} = \frac{-20}{3EI_2} \times 29300 \times 5$$

$$S_I = - \frac{20 \times 29300 \times 5}{3 \times 21 \cdot 10^9 \times I_2} = - \frac{4,651 \cdot 10^{-5}}{I_2}$$

Question 6: Condition ELS

On doit vérifier $|S_I| \leq \frac{L}{250} = 0,08 \text{ m}$

$$I_2 \geq \frac{4,651 \cdot 10^{-5}}{0,08} = 5,813 \cdot 10^{-4} \text{ m}^4 = 58130 \text{ cm}^4$$

Question 7: choix d'un profil IPE

$$W_{elz} \geq 1813 \text{ cm}^3 \rightarrow \text{IPE 500 (1928 cm}^3\text{)}$$

$$I_z \geq 58130 \text{ cm}^4 \rightarrow \text{IPE 550 (67120 cm}^4\text{)}$$

choix IPE 550

Autres possibilités:

PRS : Avantage : moins lourd par augmentation de hauteur et réduction des épaisseurs.

Inconvénients : mise en œuvre - faible rigidité transversale \rightarrow stabiliser.

Poutre treillis : Avantage : moins lourd

Inconvénients : hauteur nécessaire d'où \rightarrow de celle du bâtiment - faible rigidité transversale.

B. Dimensionnement du treillis:

Question 8: Hauteur de poutre treillis:

$$I_{Gz} = \sum_i [I_{Gzi} + A_i d_{yi}^2] \quad \text{bi symétrie d'où :}$$

$$I_{Gz} = 2 \times \left[I_{Gz} \frac{\phi_{100}}{\phi_{100}} + A \frac{\phi_{100}}{\phi_{100}} \times \left(\frac{h}{2} \right)^2 \right] \geq 60000$$

$$= 2 \times \left[270 + 18,4 \times \frac{h^2}{4} \right] \geq 60000$$

$$h \geq \sqrt{\frac{(30000 - 270) \times 4}{18,4}} = 80,39 \text{ cm.}$$

Question 9: Caractéristiques géométriques de poutre treillis:

$$- Y_G = \frac{\sum A_i y_{Gi}}{\sum A_i} = \frac{20,4 \times 0 + 18,4 \times 80}{20,4 + 18,4} = 37,94 \text{ cm}$$

$$- I_{G_z} = \sum [I_{a_i z_i} + A_i d_{y_i}^2]$$

$$= [215 + 20,4 \times 37,94^2] + [270 + 18,4 \times (80 - 37,94)^2]$$

$$I_{G_z} = 62400 \text{ cm}^4$$

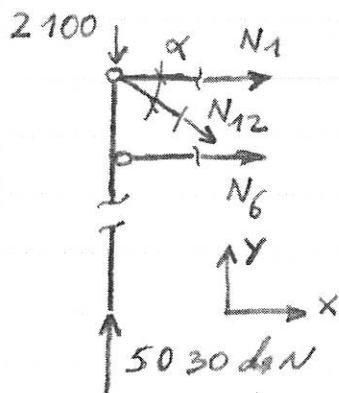
Question 10: Barres les plus chargées:

Membrane la plus chargée: la contrainte maximale pour cette poutre fléchie se situerait en milieu de poutre la membrane la plus chargée est donc au niveau de barre 11

Diagonale la plus chargée: celle la plus proche du nœud le plus chargé soit au niveau de l'appui, celui si reprenant la $\frac{1}{2}$ somme de toutes les charges \rightarrow barre 12 (ici charge identique en 11 pour toutes les diagonales)

Question 11: Efforts dans les barres:

Par la "méthode" de Ritter



$$\tan \alpha = \frac{800}{1000} = 38,7^\circ$$

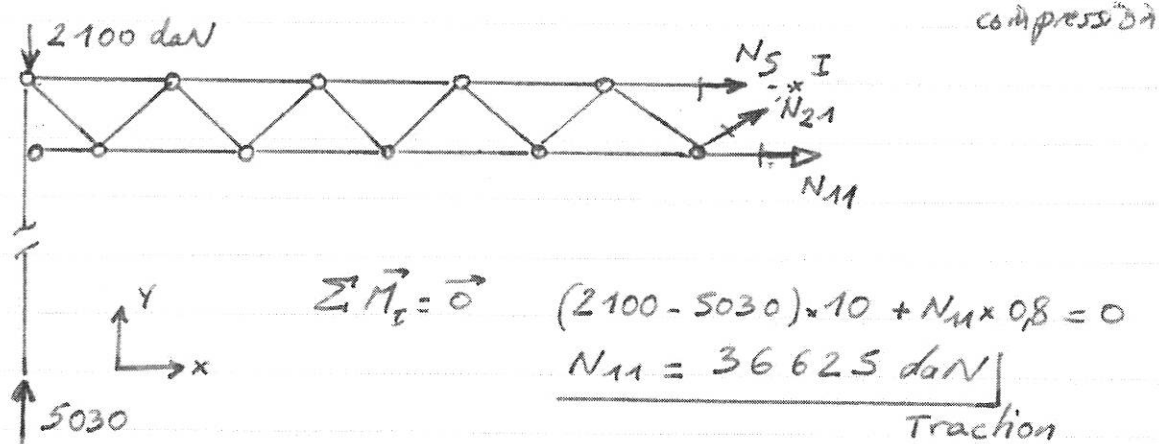
$$\sum \vec{F} = \vec{0}$$

$$\text{proj}/y : -N_{12} \sin \alpha + 5030 - 2100 = 0$$

$$N_{12} = 4686 \text{ daN}$$

Traction

coupure des barres 1, 13 et 7, pas de charge supplémentaire, angle identique mais changement d'orientation de barre \rightarrow $N_{13} = -4686 \text{ daN}$



Question 12 : Flèche de la poutre treillis :

Pour obtenir les \bar{n}_i , on divise les N_i par 5860.

d'où $\bar{n}_{11} = \frac{36625}{5860} \approx 6,3$ $\bar{n}_{12} = \frac{4690}{5860} = 0,8$

Question 13 : conclusion

- Le principe semble viable avec de l'ordre de 10% "d'erreur" quant à la limite de 0,08 cm. Il faut prendre soin du choix des sections de membrures et treillis afin que la limite admissible ne soit atteinte, ici sans doute faudrait-il augmenter leur section afin de se prémunir du risque de flambement.
 - IPE 550 \rightarrow 106 daN/m
 - poutre treillis \rightarrow 16 + 14,4 + 4,25 \times 1,28 = 35,84
- soit un rapport d'environ 3

Partie 2 : structure de file 2

Question 14 : Degré hyperstatique

$$H_g = 3 \times n_{cf} - \sum i_{ddl} = 3 \times 8 - 3 \times 1 = 3.$$

Question 15 : Limite d'étude :

structure symétrique à chargement symétrique

↳ Etude $\frac{1}{2}$ structure avec encastrement au nœud de liaison c.

→ symétrie de déformée → pas de flexion en poteau central → $x_B = 0$.

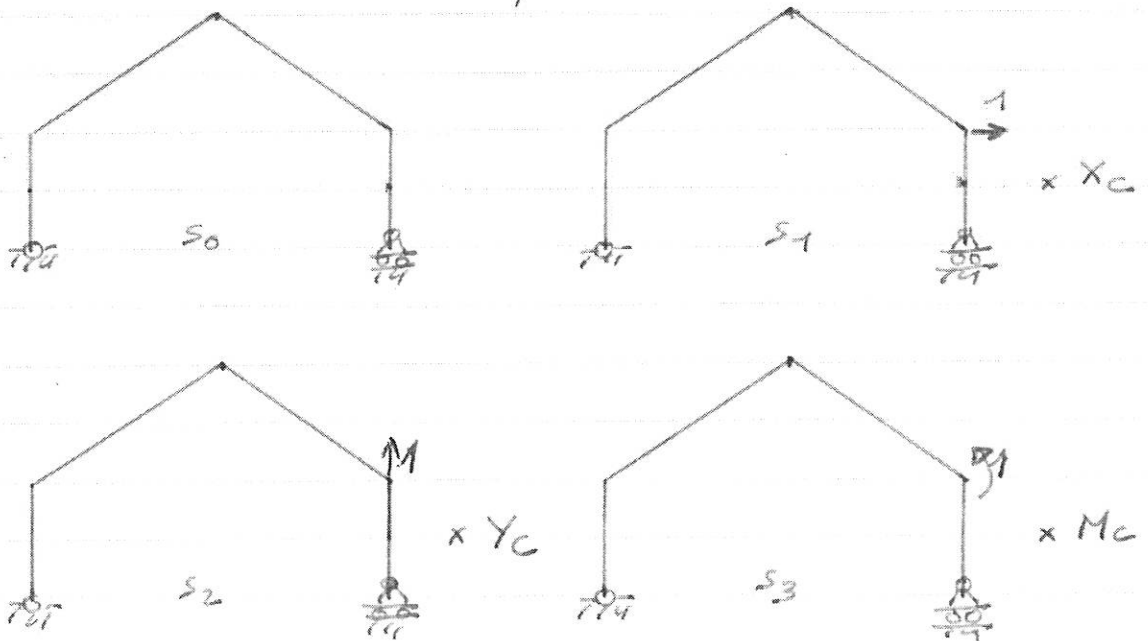
→ symétrie de N , M et actions aux liaisons

→ antisymétrie de V_y .

Degré hyperstatique inchangé!

Question 16 : Décomposition en structures isostatiques :

↓↓↓↓↓↓↓↓ 680 daN/m



Question 17: conditions d'équivalence:

Non déplacement du point C

$$\begin{cases} \Delta_{Cx} = 0 \\ \Delta_{Cy} = 0 \\ S_C = 0 \end{cases} \begin{cases} \Delta_{01} + S_{11} X_C + S_{12} Y_C + S_{13} M_C = 0 \\ \Delta_{02} + S_{21} X_C + S_{22} Y_C + S_{23} M_C = 0 \\ \Delta_{03} + S_{31} X_C + S_{32} Y_C + S_{33} M_C = 0 \end{cases}$$

Question 18: structure S1

$$X_{A1} = -1 \quad \sum \vec{M}_A = \vec{0} \quad Y_{B1} = \frac{1 \times 3,13}{10} = 0,313$$

$$Y_{A1} = -0,313$$

$$M_{1D} = 1 \times 3,13 = 3,13 \text{ daN} \quad M_{1C} = 0$$

$$M_{1E} = 1 \times 5,88 - 0,313 \times 5 = 4,315 \text{ daN}$$

Question 19: structure S2

$$X_{A2} = Y_{A2} = 0 \quad Y_{B2} = -1$$

Poteau CB uniquement tendu, structure non fléchie

Question 20: structure S3:

$$X_{A3} = 0 \rightarrow \text{pas de flexion dans les poteaux.}$$

$$Y_{B3} (= -Y_{A3}) = -\frac{1}{10} = -0,1 \text{ daN}$$

$$M_{1C} = M_{1E} = 1 \quad M_{1D} = 0$$

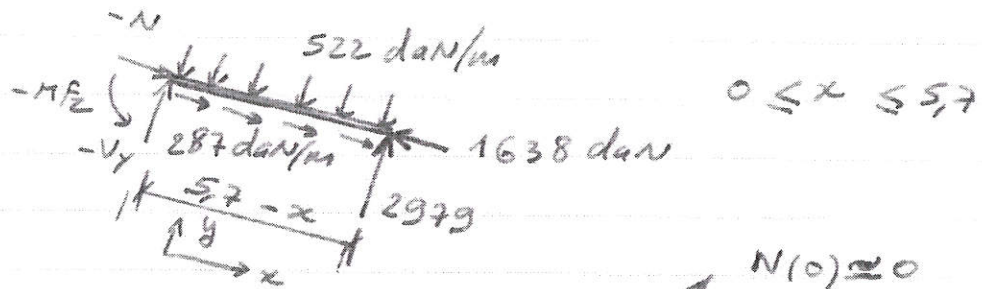
Question 21: structure S0

- structure symétrique à chargement symétrique.

$$\hookrightarrow Y_B = \frac{680 \times 10}{2} = 3400 \text{ daN}$$

$$\begin{aligned}
 q_y &= -q \cos^2 \alpha = -680 \cos^2 28,8 = -522 \text{ daN/m} \\
 q_x &= q \cos \alpha \sin \alpha = 680 \cos 28,8 \sin 28,8 = 287 \text{ daN/m}
 \end{aligned}$$

$$\begin{aligned}
 y_c &= 3400 \cos 28,8 = 2979 \text{ daN} \\
 x_c &= -3400 \sin 28,8 = -1638 \text{ daN}
 \end{aligned}$$



$$N = 287(5,7 - x) - 1638 \quad \begin{matrix} N(0) \approx 0 \\ N(5,7) = -1638 \text{ daN} \end{matrix}$$

$$V_y = -522(5,7 - x) + 2979 \quad \begin{matrix} V_y(0) \approx 0 \\ V_y(5,7) = 2979 \text{ daN} \end{matrix}$$

$$M_{Fz} = -\frac{522}{2}(5,7 - x)^2 + 2979(5,7 - x)$$

$$M_{Fz}(0) = 8500 \text{ daNm}$$

$$M_{Fz}(5,7) = 0$$

Question 22: calcul de déplacements:

$$\begin{aligned}
 \Delta_{01} &= \frac{L}{EI} \left\{ \left[\text{trapezoid with heights 3,13 and 4,315} \times \text{triangle with height 8500} \right] + \left[\text{triangle with height 4,315} \times \text{triangle with height 8500} \right] \right\} \\
 &= \frac{L}{EI} \left\{ \frac{1}{12} (3 \times 3,13 + 5 \times 4,315) 8500 + \frac{5}{12} 4,315 \times 8500 \right\} \\
 &= \frac{5,7 \times 8500}{21 \cdot 10^9 \times 2772 \cdot 10^8} \left\{ 4,378 \right\}
 \end{aligned}$$

$$\Delta_{01} = 0,364 \text{ m}$$

$$\underline{\underline{\Delta_{23} = 0}}$$

Question 23 : sollicitation du poteau :

Le poteau est soumis à une sollicitation de flexion composée.

$$N = 0,313 \times X_c + 0 - 0,1 M_c - 3400$$

$$= 0,313 (-1310) + 0,1 \times 3748 - 3400 = -3435 \text{ daN}$$

$$M_{\text{max}} = M_E = -4102 \text{ daNm.}$$

$$|\sigma_{\text{max}}| = \frac{|N|}{A} + \frac{|M_{\text{max}}|}{W_{el}} = \frac{3435}{3912} + \frac{4102}{324,3} = 13,53 \text{ daN/mm}^2$$

$|\sigma_{\text{max}}| < \sigma_e$ vérifié au critère de limite élastique.

10/11

CMMECA

Document réponse DR 1

A rendre avec la copie

	N_i (daN)	\bar{n}_i	$L_i / (E A_i)$ (cm/daN)	δ_i (cm)
Barre 1	- 3 663	- 0,6	$5,18 \cdot 10^{-6}$	$1,138 \cdot 10^{-2}$
Barre 2	-10 988	- 1,9	$5,18 \cdot 10^{-6}$	$10,814 \cdot 10^{-2}$
Barre 3	- 18 313	- 3,1	$5,18 \cdot 10^{-6}$	$29,407 \cdot 10^{-2}$
Barre 4	- 25 638	- 4,4	$5,18 \cdot 10^{-6}$	$58,434 \cdot 10^{-2}$
Barre 5	- 32 963	- 5,6	$5,18 \cdot 10^{-6}$	$95,619 \cdot 10^{-2}$
Barre 6	0	0	$2,3 \cdot 10^{-6}$	0
Barre 7	7 325	1,3	$4,6 \cdot 10^{-6}$	$4,38 \cdot 10^{-2}$
Barre 8	14 650	2,5	$4,6 \cdot 10^{-6}$	$16,848 \cdot 10^{-2}$
Barre 9	21 975	3,8	$4,6 \cdot 10^{-6}$	$38,412 \cdot 10^{-2}$
Barre 10	29 300	5	$4,6 \cdot 10^{-6}$	$67,39 \cdot 10^{-2}$
Barre 11	36 625	6,3	$4,6 \cdot 10^{-6}$	$106,139 \cdot 10^{-2}$
Barre 12	4 690	0,8	$1,74 \cdot 10^{-5}$	$6,528 \cdot 10^{-2}$
Barre 13	- 4 690	- 0,8	$1,74 \cdot 10^{-5}$	$6,528 \cdot 10^{-2}$
Barre 14	4 690	0,8	$1,74 \cdot 10^{-5}$	$6,528 \cdot 10^{-2}$
Barre 15	- 4 690	- 0,8	$1,74 \cdot 10^{-5}$	$6,528 \cdot 10^{-2}$
Barre 16	4 690	0,8	$1,74 \cdot 10^{-5}$	$6,528 \cdot 10^{-2}$
Barre 17	- 4 690	- 0,8	$1,74 \cdot 10^{-5}$	$6,528 \cdot 10^{-2}$
Barre 18	4 690	0,8	$1,74 \cdot 10^{-5}$	$6,528 \cdot 10^{-2}$
Barre 19	- 4 690	- 0,8	$1,74 \cdot 10^{-5}$	$6,528 \cdot 10^{-2}$
Barre 20	4 690	0,8	$1,74 \cdot 10^{-5}$	$6,528 \cdot 10^{-2}$
Barre 21	- 4 690	- 0,8	$1,74 \cdot 10^{-5}$	$6,528 \cdot 10^{-2}$
Déplacement global $\Delta = 2 \times \left\{ \sum_{i=1}^{21} \left[N_i \cdot \bar{n}_i \cdot \frac{L_i}{EA_i} \right] \right\} = N_{11} \bar{n}_{11} \frac{L_{11}}{EA_{11}}$				8,816

Par convention : $N > 0$ barre en traction $N < 0$ barre en compression

Document réponse DR 2

A rendre avec la copie

